DOI: 10.14529/chem250310

# ОКИСЛЕНИЕ *ТРИС*(2-МЕТОКСИ-5-ХЛОРФЕНИЛ)СУРЬМЫ *ТРЕТ*-БУТИЛГИДРОПЕРОКСИДОМ В ПРИСУТСТВИИ СОЕДИНЕНИЙ, СОДЕРЖАЩИХ ПОДВИЖНЫЙ АТОМ ВОДОРОДА

## В.В. Шарутин<sup>⊠</sup>

Аннотация. Окисление трис(2-метокси-5-хлорфенил)сурьмы гидропероксидом третичного бутила в диэтиловом эфире в присутствии воды и 2,5-диметилбензолсульфоновой кислоты приводит после перекристаллизации из толуола к образованию оксида трис(2-метокси-5хлорфенил) сурьмы  $\{[(2-MeO)(5-Cl)C_6H_3]_3SbO\}_2$  (1) и сольвата 2,5-диметилбензолсульфоната mpuc(2-метокси-5-хлорфенил)сурьмы с толуолом [(2-MeO)(5-Cl)C<sub>6</sub>H<sub>3</sub>]<sub>3</sub>Sb[OSO<sub>2</sub>C<sub>6</sub>H<sub>3</sub>Me<sub>2</sub>-2,5]<sub>2</sub> соответственно. которые были структурно охарактеризованы рентгеноструктурного анализа (PCA). По данным PCA [(1) [ $C_{42}H_{36}O_8Cl_6Sb_2$ , M 1124,91; сингония триклинная, группа симметрии P–1; параметры ячейки: a = 12,00(5), b = 13,25(5), c = 15,22(8) Å;  $\alpha = 103,71(17)^{\circ}, \beta = 91,54(18)^{\circ}, \gamma = 104,39(14)^{\circ}; V = 2267(17) \text{ Å}^3, Z = 2, \rho_{calc} = 1,648 \text{ r/cm}^3, \mu = 1,595 \text{ mm}^{-1}, \mu = 1,595 \text{ mm}^{$ F(000) = 1112,0, диапазон сбора данных по 2 $\theta$ , град: 6,28–55,48, размер кристалла 0,31×0,3×0,1 мм; интервалы индексов отражений  $-15 \le h \le 15, -16 \le k \le 17, -19 \le l \le 19;$  всего отражений 28402; независимых отражений 9758;  $R_{int}$  0,0709; GOOF 1,163;  $R_1 = 0,1049$ ,  $wR_2 = 0,2352$ ; остаточная электронная плотность 2,93/-2,50 e/Å<sup>3</sup>], (2) [ $C_{162}H_{160}O_{36}Cl_{12}S_8Sb_4$ , M 3851,77; сингония моноклинная, группа симметрии  $P2_1/n$ ; параметры ячейки: a = 15,11(2), b = 18,76(4), c = 16,05(4)Å;  $\alpha = 90,00^{\circ}$ ,  $\beta = 115,72(9)^{\circ}$ ,  $\gamma = 90,00^{\circ}$ ; V = 4214(15) Å<sup>3</sup>, Z = 1,  $\rho_{calc} = 1,518$  г/см<sup>3</sup>,  $\mu = 0,997$  мм<sup>-1</sup>, F(000) = 1956,0, диапазон сбора данных по 20, град: 5,814–57, размер кристалла 0,25×0,17×0,1 мм; интервалы индексов отражений  $-19 \le h \le 20, -25 \le k \le 25, -22 \le l \le 22$ ; всего отражений 144626; независимых отражений 10442;  $R_{int}$  0,5431; GOOF 1,036;  $R_1 = 0,1105$ ,  $wR_2 = 0,2247$ ; остаточная электронная плотность 2,34/-1,18 е/Å<sup>3</sup>]. В двух типах кристаллографически независимых симметричных молекул центросимметричного димера 1 атомы сурьмы имеют искаженную квадратно-пирамидальную координацию с двумя атомами кислорода, соединяющими два атома сурьмы в единое целое. В тригонально-бипирамидальных молекулах 2 атомы кислорода занимают аксиальные положения. В молекулах 2 присутствуют слабые внутримолекулярные контакты между центральным атомом металла и кислородом сульфонатных групп Sb···O=SO<sub>2</sub> [3,360(18), 3,490(18) Å], которые располагаются относительно друг друга в *цис*-положении. Полные таблицы координат атомов, длин связей и валентных углов депонированы в Кембриджском банке 2050329 **(2)**; структурных данных (№ 2076853 deposit@ccdc.cam.ac.uk; **(1)**, https://www.ccdc.cam.ac.uk).

**Ключевые** слова: окисление, mpuc(2-метокси-5-хлорфенил)сурьма, mpem-бутил гидропероксид, производные,  $Ar_3SbX_2$ , строение

Для цитирования: Шарутин В.В. Окисление *mpuc*(2-метокси-5-хлорфенил)сурьмы *mpem*-бутилгидропероксидом в присутствии соединений, содержащих подвижный атом водорода // Вестник ЮУрГУ. Серия «Химия». 2025. Т. 17, № 3. С. 106–112. DOI: 10.14529/chem250310

<sup>©</sup> Шарутин В.В., 2025.

Original article

DOI: 10.14529/chem250310

## OXIDATION OF TRIS(2-METHOXY-5-CHLOROPHENYL)ANTIMONY WITH TERT-BUTYL HYDROPEROXIDE IN THE PRESENCE OF COMPOUNDS CONTAINING A MOBILE HYDROGEN ATOM

**V.V. Sharutin**South Ural State University, Chelyabinsk, Russia

■ sharutin50@mail.ru

**Abstract.** Oxidation of tris(2-methoxy-5-chlorophenyl)antimony with tert-butyl hydroperoxide in diethyl ether in the presence of water and 2,5-dimethylbenzenesulfonic acid, after recrystallization from toluene, leads to formation of tris(2-methoxy-5-chlorophenyl)antimony oxide {[(2-MeO)(5-Cl)C<sub>6</sub>H<sub>3</sub>]<sub>3</sub>SbO}<sub>2</sub> (1) and the solvate of tris(2-methoxy-5-chlorophenyl)antimony 2,5-dimethylbenzenesulfonate with toluene  $[(2-MeO)(5-Cl)C_6H_3]_3Sb[OSO_2C_6H_3Me_2-2,5]_2 \cdot TolH$  (2), respectively; the compounds have been structurally characterized by X-ray diffraction analysis (XRD). According to the XRD data [(1)  $[C_{42}H_{36}O_8Cl_6Sb_2, M$  1124.91; triclinic syngony, symmetry group P-1; cell parameters: a = 12.00(5),  $b = 13.25(5), c = 15.22(8) \text{ Å}; \alpha = 103.71(17)^{\circ}, \beta = 91.54(18)^{\circ}, \gamma = 104.39(14)^{\circ}; V = 2267(17) \text{ Å}^3, Z = 2,$  $\rho_{\text{calc}} = 1.648 \text{ g/cm}^3$ ,  $\mu = 1.595 \text{ mm}^{-1}$ , F(000) = 1112.0,  $2\theta$  data acquisition range, deg: 6.28–55.48, crystal size  $0.31 \times 0.3 \times 0.1$  mm; reflection index ranges  $-15 \le h \le 15$ ,  $-16 \le k \le 17$ ,  $-19 \le l \le 19$ ; total reflections 28402; independent reflections 9758;  $R_{\text{int}}$  0.0709; GOOF 1.163;  $R_1 = 0.1049$ ,  $wR_2 = 0.2352$ ; residual electron density  $2.93/-2.50 \text{ e/Å}^3$ ], (2) [ $C_{81}H_{80}O_{18}Cl_6S_4Sb_2$ , M 1925.91; monoclinic syngony, symmetry group P21/n; cell parameters: a = 15.11(2), b = 18.76(4), c = 16.05(4) Å;  $\beta = 115.72(9)^{\circ}$ ; V = 4214(15) Å<sup>3</sup>, Z = 2,  $\rho_{\text{calc}} = 1.518 \text{ g/cm}^3$ ,  $\mu = 0.997 \text{ mm}^{-1}$ , F(000) = 1956.0,  $2\theta$  data acquisition range, deg: 5.814–57, crystal size  $0.25 \times 0.17 \times 0.1$  mm; reflection index ranges  $-19 \le h \le 20, -25 \le k \le 25, -22 \le l \le 22$ ; total reflections 144626; independent reflections 10442;  $R_{\text{int}}$  0.5431; GOOF 1.036;  $R_1 = 0.1105$ ,  $wR_2 = 0.2247$ ; residual electron density 2.34/-1.18 e/Å<sup>3</sup>], in two types of crystallographically independent symmetrical molecules of the centrosymmetric dimer 1, the antimony atoms have a distorted square-pyramidal coordination with two oxygen atoms joining two antimony atoms into a whole. In the trigonal-bipyramidal molecules 2 the oxygen atoms occupy axial positions. In molecules 2 there are weak intramolecular contacts between the central metal atom and the oxygen of the sulfonate groups Sb···O=SO<sub>2</sub> [3.360(18), 3.490(18) Å], which are located in the cis-position relative to each other. Complete tables of atomic coordinates, bond lengths and valence angles have been deposited at the Cambridge Crystallographic Data Centre (No. 2050329 (1), 2076853 (2); deposit@ccdc.cam.ac.uk; https://www.ccdc.cam.ac.uk).

*Keywords:* oxidation, *tris*(2-methoxy-5-chlorophenyl)antimony, *tert*-butyl hydroperoxide, derivatives, Ar<sub>3</sub>SbX<sub>2</sub>, structure

*For citation:* Sharutin V.V. Oxidation of *tris*(2-methoxy-5-chlorophenyl)antimony with *tert*-butyl hydroperoxide in the presence of compounds containing a mobile hydrogen atom. *Bulletin of the South Ural State University. Ser. Chem.* 2025;17(3): 106–112. (In Russ.) DOI: 10.14529/chem250310

#### Введение

Известно, что одними из наиболее изученных соединений пятивалентной сурьмы являются арильные производные сурьмы общей формулы  $Ar_3SbX_2$  (X — электроотрицательный лиганд) [1–3]. Среди них особое место занимают дикарбоксилаты триарилсурьмы, которые получают преимущественно из триарилсурьмы и карбоновой кислоты в присутствии пероксида в диэтиловом эфире при мольном соотношении исходных реагентов 1:2:1 [4–23]. Как найдено в [24, 25], полученные комплексы обладают антилейшманиозной активностью, возможно, из-за особенностей их строения, поэтому изучение кристаллической структуры подобных производных является актуальной задачей. Некоторые соединения пятивалентной сурьмы  $Ar_3SbX_2$  с электроноакцепторными и электронодонорными заместителями в арильных кольцах могут обладать большей биологической активностью, чем соответствующие фенильные аналоги, поэтому была поставлена задача синтеза 2-метокси-5-хлорфенильных производных сурьмы.

#### Экспериментальная часть

В работе использовали органические соединения производства фирмы Alfa Aesar, соединения **1**, **2** получали по реакции окислительного присоединения из [1–3].

**РСА** кристаллов проведен на дифрактометре D8 Quest фирмы Bruker (МоKα-излучение,  $\lambda$  = 0,71073 Å, графитовый монохроматор) при 296(2) К. Сбор, редактирование данных и уточнение параметров элементарной ячейки, а также учет поглощения проведены по программам SMART и SAINT-*Plus* [26]. Все расчеты по определению и уточнению структуры выполнены по программам SHELXL/PC [27] и OLEX2 [28]. Структуры определены прямым методом и уточнены методом наименьших квадратов в анизотропном приближении для неводородных атомов. Полные таблицы координат атомов, длин связей и валентных углов депонированы в Кембриджском банке структурных данных (№ 2050329 (1), 2076853 (2); deposit@ccdc.cam.ac.uk; https://www.ccdc.cam.ac.uk).

Таблица 1 Кристаллографические данные, параметры эксперимента и уточнения структур 1, 2

Параметр	1	2
Формула	$C_{42}H_{36}O_8Cl_6Sb_2$	$C_{81}H_{80}O_{18}Cl_6S_4Sb_2$
M	1124,91	1925,91
Сингония	Триклинная	Моноклинная
Пр. группа	P-1	$P2_1/n$
a, Å	12,00(5)	15,11(2)
b, Å	13,25(5)	18,76(4)
c, Å	15,22(8)	16,50(4)
α, град.	103,71(17)	90,00
β, град.	91,54(18)	115,72(9)
γ, град.	104,39(14)	90,00
$\gamma$ , град. $V$ , Å $^3$	2267(17)	4214(15)
Z	2	1
$ ho$ (выч.), г/см $^3$	1,648	1,518
$\mu$ , mm <sup>-1</sup>	1,595	0,997
F(000)	1112,0	1956,0
Размер кристалла (мм)	$0.31 \times 0.3 \times 0.1$	$0,25 \times 0,17 \times 0,1$
Область сбора данных по $2\theta$ , град.	6,28–55,48	5,814–57
Интервалы индексов отражений	$-15 \le h \le 15, -16 \le k \le 17, -19 \le l \le 19$	$-19 \le h \le 20, -25 \le k \le 25, -22 \le l \le 22$
Измерено отражений	28402	144626
Независимых отражений	9758	10442
Переменных уточнения	529	528
GOOF	1,163	1,031
$R$ -факторы по $F^2 > 2\sigma(F^2)$	$R_1 = 0.1049, wR_2 = 0.2352$	$R_1 = 0.1105, wR_2 = 0.2247$
R-факторы по всем отражениям	$R_1 = 0.1505, wR_2 = 0.2614$	$R_1 = 0.2782, wR_2 = 0.3108$
Остаточная электронная плотность (min/max), $e/\text{Å}^3$	2,93/–2,50	2,34/–1,18

Длины связей и валентные углы в структурах 1,2

Связь d, Å Угол ω, град. O4<sup>1</sup>–Sb1–Sb1<sup>1</sup> Sb1-Sb1<sup>1</sup> 3,114(11) 39,3(3)  $\overline{\text{O4}^{1}\text{-Sb}1\text{-O4}}$ Sb1-O4 2,017(11) 77,7(4) Sb1-O4<sup>1</sup> O4<sup>1</sup>–Sb1–C1 1,981(11) 88,0(6) Sb1-C1 2,145(13) O4-Sb1-C1 152,3(4) Sb1-C21 2,176(15) O4<sup>1</sup>–Sb1–C11 111,3(5)  $\overline{O}4^{1}$ –Sb1–C21 Sb2-Sb2<sup>2</sup> 3,114(11) 141,7(4) Sb2-O8 2,052(11) O4-Sb1-C21 90,1(5) Sb2-O8<sup>2</sup> 1,961(10) C1-Sb1-Sb1<sup>1</sup> 123,5(5)

Окончание табл. 2

Связь	d, Å	Угол	о град	
Sb2-C51	2,127(15)	C11–Sb1–Sb1 <sup>1</sup>	ω, град. 106,1(5)	
Sb2-C31	2,175(16)	C11-Sb1-C21	105,6(6)	
O1–C2	1,405(18)	C21–Sb1–Sb1 <sup>1</sup>	120,1(4)	
O1–C7	1,43(2)	$O8^2 - Sb2 - C41$	141,8(5)	
O2-C12		$\frac{\text{O8}^2-\text{Sb2}-\text{C41}}{\text{O8}^2-\text{Sb2}-\text{C51}}$	/	
O2-C12 O2-C17	1,35(2)	O8-Sb2-C31	110,7(5)	
O3-C22	1,445(19)	C41–Sb2–Sb2 <sup>2</sup>	152,1(5)	
	1,37(2)		118,4(4)	
O3-C27	1,466(18)	C51–Sb2–Sb2 <sup>2</sup>	105,1(4)	
O4-Sb1 <sup>1</sup>	1,981(11)	C51–Sb2–C31	114,2(6)	
O8–Sb2 <sup>2</sup>	1,961(10)	C31–Sb2–Sb2 <sup>2</sup>	123,6(5)	
Преобразования симметрии: 1 1–X, 1–Y, 2–Z; 2 –X, 1–Y, 1–Z				
2				
Sb1-O7	2,090(9)	O4–Sb1–O7	174,7(3)	
Sb1-O4	2,073(9)	O4–Sb1–C11	89,6(5)	
Sb1–C1	2,060(14)	C1–Sb1–C11	118,3(5)	
Sb1-C11	2,080(14)	C1-Sb1-C21	125,2(5)	
Sb1-C21	2,073(12)	C21–Sb1–C11	116,3(5)	
C11-C5	1,693(16)	O4-S1-C41	102,5(5)	
C12-C15	1,734(18)	O5-S1-O4	108,5(6)	
C13-C25	1,693(18)	O5-S1-C41	107,7(7)	
S1-O4	1,493(9)	O6-S1-O4	111,8(7)	
S1–O5	1,426(11)	O6-S1-O5	117,0(7)	
S1-O6	1,389(12)	O6-S1-C41	108,2(7)	
S1-C41	1,692(10)	O7-S2-C31	103,4(6)	
S2-O7	1,495(9)	O8-S2-O7	110,3(6)	
S2-O8	1,402(11)	O8-S2-O9	116,5(8)	
S2-O9	1,421(11)	O8-S2-C31	107,3(7)	
S2-C31	1,735(14)	O9-S2-O7	109,2(6)	

#### Обсуждение результатов

Ранее в работе [29] исследовались реакции окислительного присоединения *трис* (2-метокси-5-хлорфенил)сурьмы [30] с простейшими карбоновыми кислотами в присутствии окислителя, однако было мало известно о подобных реакциях в присутствии воды и других соединений, содержащих активный атом водорода. Продолжением исследований в данном направлении являлось изучение реакций *трис* (2-метокси-5-хлорфенил)сурьмы с водой и 2,5-диметилбензолсульфоновой кислотой в присутствии *трет*-бутилгидропероксида.

Найдено, что взаимодействие mpuc(2-метокси-5-хлорфенил)сурьмы с водой в присутствии mpem-бутилгидропероксида в эфире приводит к образованию димера оксида mpuc(2-метокси-5-хлорфенил)сурьмы  $[(5-Cl-2-MeOC_6H_3)_3SbO]_2$ .

$$2 (5-Cl-2-MeOC_6H_3)_3Sb + 2 C_4H_9OOH \xrightarrow{H_2O} [(5-Cl-2-MeOC_6H_3)_3SbO]_2 + 2 C_4H_9OH$$

Отметим, что аналогичный продукт получается и в подобной реакции mpuc(2-метокси-5-бромфенил)сурьмы [31].

По данным РСА в двух типах кристаллографически независимых центросимметричных биядерных молекулах 1a,b атомы сурьмы имеют искаженную квадратно-пирамидальную координацию, мостиковые атомы кислорода занимают экваториальные позиции (рис. 1). В молекулах 1a углы C(11)Sb(1)O(4) и C(11)Sb(1)O(4') равны 94, $1(5)^{\circ}$  и 111, $3(5)^{\circ}$ , углы C(1)Sb(1)C(21) и C(1)Sb(1)C(11) по значению близки к ним  $(86,6(6)^{\circ}$  и  $113,2(6)^{\circ}$ ). Расстояние между центральным атомом металла и аксиальным атомом углерода (2,145(13) Å) короче аналогичных длин связей с экваториальными атомами углерода (2,173(17), 2,176(15) Å). Фрагмент  $Sb_2O_2$  – плоский, угол O(4)Sb(1)O(4') равен  $77,7(4)^{\circ}$ . Длины связей Sb(1)–O(4) и Sb(1)–O(4') составляют 2,017(11) и

1,981(5) Å. Расстояние между атомами Sb(1) и Sb(1') в цикле равно 3,114(11) Å, что значительно меньше удвоенного ван-дер-ваальсова радиуса сурьмы (4,4 Å [31]). В молекуле  $\bf 1a$  наблюдаются короткие внутримолекулярные контакты MeO···Sb (2,907(3), 3,150(5), 3,197(6) Å), которые сравнимы с аналогичными расстояниями в молекуле  $\it mpuc$ (2-метокси-5-хлорфенил)сурьмы (3,011(4), 3,053(5) и 3,055(5) Å) [30]. Примерно такими же геометрическими параметрами обладает и вторая кристаллографически независимая молекула  $\bf 1b$ .

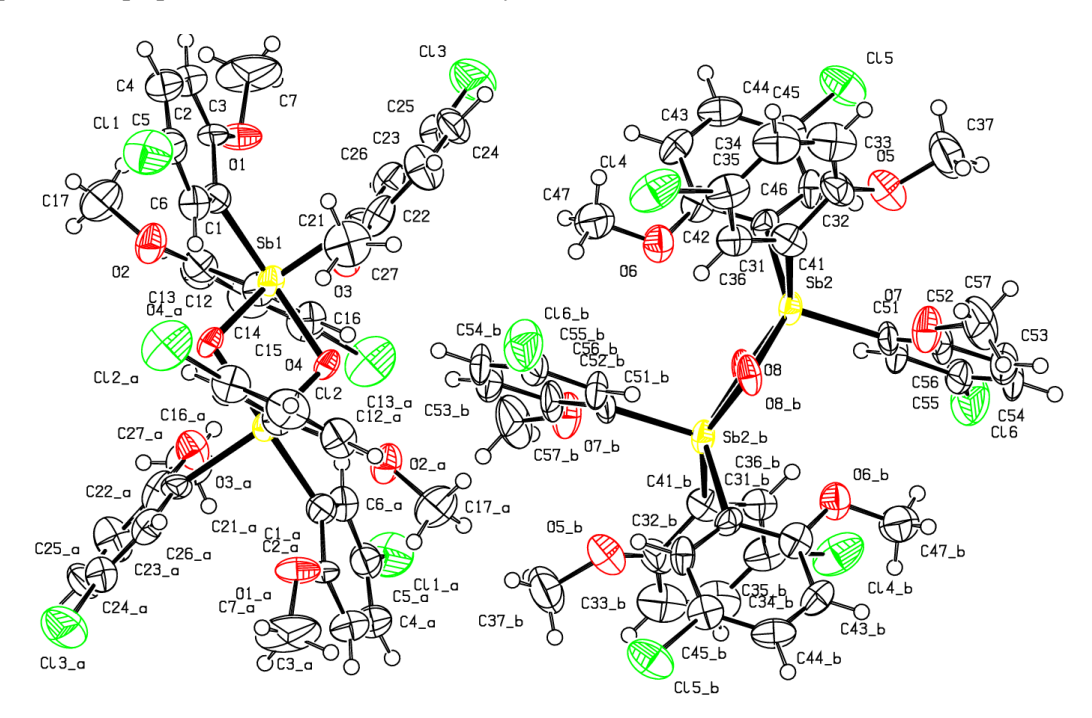


Рис. 1. Общий вид оксида трис[(2-метокси-5-хлорфенил]сурьмы (1)

Замена воды в аналогичной реакции на более сильную 2,5-диметилбензолсульфоновую кислоту приводит к образованию  $\mathit{buc}(2,5$ -диметилбензолсульфонато)[ $\mathit{mpuc}(2$ -метокси-5-хлорфенил)сурьмы [ $(2\text{-MeO})(5\text{-Cl})C_6H_3$ ] $_3$ Sb[OC(O)C $_6H_3$ Me $_2$ -2,5] $_2$  (2), выделенной из реакционной смеси с выходом 80 %.

$$[(5-Cl)(2-MeO)C_6H_3]_3Sb + 2 HOSO_2C_6H_3Me_2-2,5 + C_4H_9OOH \rightarrow H_2O + C_4H_9OH + \\ + [(5-Cl)(2-MeO)C_6H_3]_3Sb[OSO_2C_6H_3Me_2-2,5]_2 \cdot Tol$$

Полученные соединения 1, 2 представляют собой бесцветные кристаллические вещества, растворимые в аренах и полярных органических растворителях и нерастворимые в алканах.

В молекулах сольвата  $\delta uc(2,5$ -диметилбензолсульфонато)mpuc(2-метокси-5-хлорфенил)сурьмы с толуолом [(5-Cl)(2-MeO)C<sub>6</sub>H<sub>3</sub>]<sub>3</sub>Sb[OSO<sub>2</sub>C<sub>6</sub>H<sub>3</sub>Me<sub>2</sub>-2,5]<sub>2</sub> · Tol (**2**) наблюдается тригонально-бипирамидальное расположение заместителей у центрального атома с атомами кислорода сульфонатных групп в аксиальных положениях (угол OSbO 174,7°) (рис. 2), что сопоставимо с аналогичной величиной в  $\delta uc(2,5$ -диметилбензолсульфонате) три(n-толил)сурьмы (174,33°) [31], но при этом наблюдаются различные длины связей Sb-O (2,073, 2,090 Å и 2,124 и 2,158 Å).

В **2** наблюдаются уменьшенные расстояния между атомом сурьмы и атомами кислорода сульфогрупп, формально не связанными друг с другом (расстояния Sb···O=S равны 3,360(4) и 3,490(4) Å), что указывает на существование между ними слабого внутримолекулярного взаимодействия. Экваториальные углы CSbC несколько отличаются между собой (116,3°, 118,3°, 125,2°) от теоретического значения 120°; при этом один из них (со стороны контакта) значительно меньше двух других.

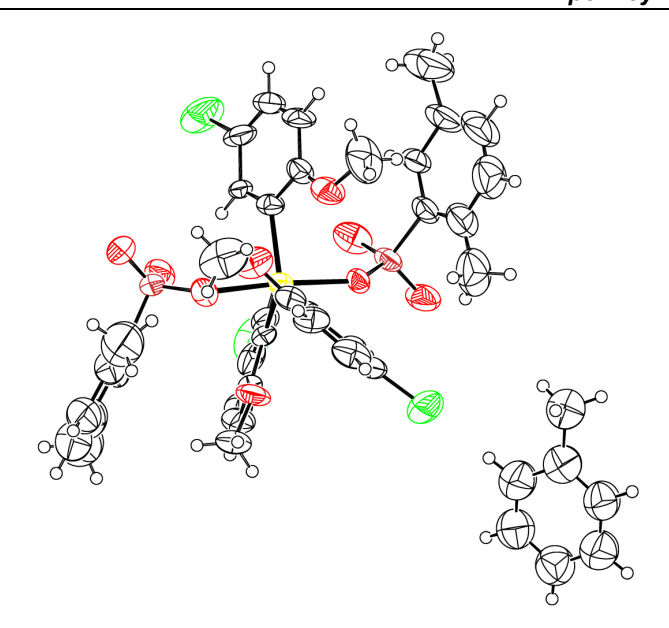


Рис. 2. Общий вид сольвата бис(2,5-диметилбензолсульфонато)[mpuc(2-метокси-5-хлорфенил)сурьмы с толуолом (2)

Отметим, что в дикарбоксилатах триарилсурьмы, в которых карбоксилатные заместители имеют относительно фрагмента  $Ar_3Sb$   $\mu\nu$ -ориентацию, а один из экваториальных углов CSbC со стороны контактов  $Sb\cdots O(=C)$  значительно увеличен (до  $151,7^\circ$ ), наблюдается упрочение этих взаимодействий (величина контакта  $Sb\cdots O$  достигает 2,664 Å [32]). Учитывая, что угол между плоскостями SbOS(O) составляет  $15,5^\circ$  можно говорить о  $\mu\nu$ -ориентации OS(O)-групп относительно фрагмента  $Ar_3Sb$ , однако объяснение этого факта требует дальнейшего объяснения.

### Выводы

В кристаллах полученных соединений атомы сурьмы имеют искаженную квадратно-пирамидальную и тригонально-бипирамидальную координацию с атомами кислорода в экваториальных положениях в первом случае и аксиальных положениях — во втором. Длины связей Sb-C и Sb-O близки к суммам ковалентных радиусов атомов-партнеров. Отметим слабую координацию атомов кислорода сульфогрупп с центральным атомом металла в молекулах  $\mathbf{2}$ , когда расстояния  $\mathbf{Sb}\cdots\mathbf{O}(=\mathbf{S})$  значительно меньше суммы ван-дер-ваальсовых радиусов атомовпартнеров.

#### Список источников

- 1. *Шарутин В.В., Поддельский А.И., Шарутина О.К.* // Коорд. химия. 2020. Т. 46, № 10. С. 579. DOI: 10.31857/S0132344X20100011
- 2. *Шарутин В.В.* // Вестник ЮУрГУ. Серия «Химия». 2024. Т. 16, № 1. С. 5. DOI: 10.14529/chem240101
- 3. Sharutin V.V. // Reviews and Advances in Chemistry. 2024, V. 14, No. 3, pp. 1. DOI: 10.1134/S2634827624600282
- 4. *Шарутин В.В., Шарутина О.К., Хайбуллина О.А.* // Журн. общ. химии. 2021. Т. 91, № 9. С. 1446. DOI: 10.31857/S0044460X2109016X
- 5. *Шарутин В.В., Шарутина О.К.* // Журн. неорган. химии. 2021. Т. 66, № 3. С. 358. DOI: 10.31857/S0044457X21030156
- 6. *Шарутин В.В., Шарутина О.К., Ефремов А.Н.* // Коорд. химия. 2021. Т. 47, № 5. С. 293. DOI: 10.31857/S0132344X21050066
- 7. *Шарутин В.В.*, *Потемкин В.А.*, *Ефремов А.Н. и др.* // Изв. Академии наук. Серия химическая. 2022. № 4. С. 707. EDN: KTJZZJ
- 8. *Ефремов А.Н., Шарутин В.В., Шарутина О.К.* // Журн. структ. химии. 2022. Т. 63, № 3. С. 261. DOI: 10.26902/JSC\_id88696

- 9. *Sharutin V.V.*, *Sharutina O.K.*, *Efremov A.N. et al.* // J. Fluorine Chem. 2020. V. 234. P. 109517. DOI: 10.1016/j.jfluchem.2020.109517
- 10. *Артемьева Е.В., Шарутина О.К., Шарутин В.В., Буланова А.В.* // Журн. неорган. химии. 2020. Т. 65. С. 22. DOI: 10.31857/S0044457X20010031
- 11. *Шарутин В.В., Шарутина О.К., Ефремов А.Н., Слепухин П.А.* // Журн. неорган. химии. 2020. Т. 65, № 7. С. 907. DOI: 10.31857/S0044457X20070193
- 12. *Шарутин В.В., Шарутина О.К.* // Журн. общ. химии. 2021. Т. 91, № 9. С. 598. DOI: 10.31857/S0044460X21040156
- 13. *Шарутин В.В., Шарутина О.К., Губанова Ю.О., Фоминых А.С.* // Журн. общ. химии. 2020. Т. 90. № 1. С. 136. DOI: 10.31857/S0044460X20010175
- 14. *Гущин А.В., Малеева А.И., Калистратова О.С., Хамалетдинова Н.М.* // Вестник ЮУрГУ. Серия «Химия». 2021. Т. 13, № 1. С. 5. DOI: 10.14529/chem210101
- 15. *Хайбуллина О.А.* // Вестник ЮУрГУ. Серия «Химия». 2021. Т. 13, № 1. С. 39. DOI: 10.14529/chem210104
- 16. *Шарутина О.К.* // Вестник ЮУрГУ. Серия «Химия». 2022. Т. 14, № 4. С. 26. DOI: 10.14529/chem220402
- 17. *Рыбакова А.В.* // Вестник ЮУрГУ. Серия «Химия». 2021. Т. 13, № 4. С. 91. DOI: 10.14529/chem210407
- 18. *Белов В.В.* // Вестник ЮУрГУ. Серия «Химия». 2021. Т. 13, № 4. С. 101. DOI: 10.14529/chem210408
- 19. *Ефремов А.Н., Шарутин В.В.* // Вестник ЮУрГУ. Серия «Химия». 2021. Т. 13, № 4. С. 120. DOI: 10.14529/chem210410
- 20. Лобанова Е.В. // Вестник ЮУрГУ. Серия «Химия». 2020. Т. 12, № 2. С. 23. DOI: 10.14529/chem200203
- 21. *Брегадзе В.И., Ефремов А.Н., Шарутин В.В.* // Вестник ЮУрГУ. Серия «Химия». 2023. Т. 15, № 1. С. 43. DOI: 10.14529/chem230104
- 22. *Белов В.В.* // Вестник ЮУрГУ. Серия «Химия». 2022. Т. 14, № 2. С. 120. DOI: 10.14529/chem220213
- 23. *Шарутин В.В., Мородецких М.О.* // Вестник ЮУрГУ. Серия «Химия». 2024. Т. 16, № 2. С. 77. DOI: 10.14529/chem240208
- 24. *Artem'eva E.V.*, *Duffin R.N.*, *Munuganti S. et al.* // Polyhedron. 2022. V. 213. P. 115627. DOI: 10.1016/j.poly.2021.115627
- $25. \ Артемьева \ E.В., \ Шарутина \ O.К., \ Шарутин \ B.В. \$  Фторсодержащие дикарбоксилаты триарилсурьмы(V), обладающие противолейшманиозной активностью. Патент на изобретение RU 2816109 C1, 26.03.2024. Заявка от 25.05.2023.
- 26. Bruker. SMART and SAINT-Plus. Versions 5.0. Data Collection and Processing Software for the SMART System. Bruker AXS Inc., Madison, Wisconsin, USA, 1998.
- 27. Bruker. SHELXTL/PC. Versions 5.10. An Integrated System for Solving, Refining and Displaying Crystal Structures from Diffraction Data. Bruker AXS Inc., Madison, Wisconsin, USA, 1998.
- 28. Dolomanov O.V., Bourhis L.J., Gildea R.J. et al. // J. Appl. Cryst. 2009. V. 42. P. 339. DOI: 10.1107/S0021889808042726
- 29. *Шарутин В.В., Шарутина О.К., Ефремов А.Н.* // Журн. общ. химии. 2022. Т. 92, № 2. С. 304. DOI: 10.31857/S0044460X22020172
- 30. *Шарутин В.В., Шарутина О.К.* // Журн. общ. химии. 2020. Т. 90, № 10. С. 1577. DOI: 10.31857/S0044460X20100133
- 31. *Шарутин В.В., Шарутина О.К., Платонова Т.П. и др. //* Журн. общ. химии. 2003. Т. 73, № 3. С. 380. EDN: OYTHWD
- 32. *Шарутина О.К., Шарутин В.В.* Молекулярные структуры органических соединений сурьмы(V). Челябинск.: Издательский центр ЮУрГУ, 2012, 395 с.

**Шарутин Владимир Викторович** — доктор химических наук, профессор, главный научный сотрудник управления научной и инновационной деятельности, Южно-Уральский государственный университет, Челябинск, Россия. E-mail: sharutin50@mail.ru

Статья поступила в редакцию 20 марта 2025 г. The article was submitted 20 March 2025.